

ции. При $N \gg r$ выражения для среднего времени и дисперсии момента фиксации упрощаются:

$$\bar{t}_{\text{сп}} \approx ((N + r + 2)/3(N + 1)) \tau, \sigma_{\text{сп}}^2 \approx ((4(N + r) + 7)/9(N + 1)^2) \tau^2.$$

Зависимости среднего времени и СКО времени фиксации от числа пришедших на интервале $(0, \tau)$ фотоэлектронов для двух методов измерения временного положения импульса приведены на рисунке.

Предложенная методика позволяет проводить оценку точности определения временного положения импульса фотоприемником с ФЭУ при различных методах фиксации временного положения импульса с учетом реальных флуктуаций одиночной характеристики ФЭУ и статистического характера сигнала.

ЛИТЕРАТУРА

1. Мелешко Е. А. Интегральные схемы в наносекундной ядерной электронике.— М.: Атомиздат, 1977.
2. Богомолов А. А., Бугаев Ю. Н., Суетенко А. В. Оценка точности определения временного положения светового импульса фотоприемником.— В кн.: Импульсная фотометрия. Л.: Машиностроение, 1979, вып. 6.
3. Перцев А. И., Писаревский А. И. Одиночные характеристики ФЭУ и их применение.— М.: Атомиздат, 1971.
4. Кокс Д. Р., Смит В. Л. Теория восстановления: Пер. с англ./Под ред. Ю. К. Беляева.— М.: Сов. радио, 1967.

Поступило в редакцию 29 мая 1980 г.

УДК 681.325 : 625.376

В. Н. СИДЕЛЬНИКОВ, Р. Р. ХАМИТОВ
(Москва)

О ГРАНИЦАХ ВЕРОЯТНОСТИ ОШИБКИ В ЗАДАЧАХ РАСПОЗНАВАНИЯ ОБРАЗОВ

В задачах распознавания образов с помощью байесовских классификаторов, как правило, весьма сложен аналитический расчет вероятности ошибочной классификации P_e и важное значение приобретает поиск соотношений, задающих ее нижнюю и верхнюю границы. Эти границы должны определять возможности классификатора в зависимости от конфигурации и числа m эталонных образов (классов) $J_r(s)$, априорного распределения вероятностей этих образов P_r ($r = 1, \dots, m$) и условных распределений наблюдений $J(s)$ (s — пространственная или временная переменная).

В литературе, посвященной этому вопросу, приводятся обычно соотношения для $m = 2$, а для $m > 2$ известны лишь верхние границы вероятности ошибочной классификации [1, 2]. Общий интерес к нахождению удобных соотношений для верхних границ обусловлен необходимостью наличия критерия оптимальности для поиска систем эффективных признаков [3, 4]. Однако для разработчиков систем распознавания весьма важной задачей становится получение двусторонних соотношений для P_e при $m > 2$. Так как нахождение границ для двухклассовой задачи обычно проще, чем для многоклассовой, то желательно, чтобы эти соотношения выражались через соотношения для границ при $m = 2$.

Пусть заданы границы для вероятности ошибочной классификации при $m = 2$:

$$g_u(P_1, P_2, \rho_{12}) \leq P_e \leq g_b(P_1, P_2, \rho_{12}), \quad (1)$$

где ρ_{12} — некоторая мера сходства образов $J_1(s)$ и $J_2(s)$, зависящая от условных распределений вероятностей $J(s)$.

Для получения границ вероятности ошибки при $m > 2$ рассмотрим

$$A_{qr} = \{J(s) : P[J_q(s) | J(s)] \geq P[J_r(s) | J(s)]\}$$

— множество наблюдений $J(s)$, для которых в соответствии с оптимальным байесовским алгоритмом принимаем решение в пользу образа $J_q(s)$ против $J_r(s)$, а $P[J_q(s) | J(s)]$ и $P[J_r(s) | J(s)]$ — апостериорные вероятности образов $J_q(s)$ и $J_r(s)$. Пусть далее имеет место $J_r(s)$, тогда в соответствии с [4] для верхней границы получим

$$P_{e,r} = P \left\{ \bigcup_{\substack{q=1 \\ q \neq r}}^m A_{qr} \mid J_r(s) \right\} \leq \sum_{\substack{q=1 \\ q \neq r}}^m P \{ A_{qr} \mid J_r(s) \}$$

и после усреднения по всем r

$$P_e = \sum_{r=1}^m P_r P_{e,r} \leq \sum_{r=1}^m \sum_{\substack{q=1 \\ q \neq r}}^m P_r P\{A_{qr} | J_r(s)\} = \sum_{q < r} \alpha$$

где

$$\alpha_{qr} = P_r P\{A_{qr} | J_r(s)\} + P_q P\{A_{rq} | J_q(s)\}.$$

Для нижней границы находим

$$P_{e,r} = P\left\{\bigcup_{\substack{q=1 \\ q \neq r}}^m A_{qr} | J_r(s)\right\} \geq \max_q P\{A_{qr} | J_r(s)\} \geq \frac{1}{m-1} \sum_{\substack{q=1 \\ q \neq r}}^m P\{A_{qr} | J_r(s)\},$$

а для вероятности ошибки классификации получаем после усреднения по всем r

$$P_e = \sum_{r=1}^m P_r P_{e,r} \geq \frac{1}{m-1} \sum_{r=1}^m \sum_{\substack{q=1 \\ q \neq r}}^m P_r P\{A_{qr} | J_r(s)\} = \frac{1}{m-1} \sum_{q < r} \alpha_{qr}.$$

Полученная здесь нижняя граница нетривиальна и равна нулю только для случая $P_e = 0$. Важно также, что обе границы удалось выразить через величину α_{qr} :

$$\frac{1}{m-1} \sum_{q < r} \alpha_{qr} \leq P_e \leq \sum_{q < r} \alpha_{qr},$$

что позволяет при $m > 2$ использовать неравенства (1) для $m = 2$.

Действительно, поскольку вероятности $P\{A_{qr} | J_r(s)\}$ и $P\{A_{rq} | J_q(s)\}$ зависят только от образов $J_r(s)$ и $J_q(s)$ и не зависят от числа m , то величину $\alpha_{qr}/(P_r + P_q)$ можно рассматривать как вероятность ошибочной классификации в двухклассовой задаче распознавания образов $J_r(s)$ и $J_q(s)$ с априорными вероятностями этих образов $P_r/(P_r + P_q)$ и $P_q/(P_r + P_q)$. Тогда $(P_r + P_q) g_H[P_r/(P_r + P_q), P_q/(P_r + P_q), \rho_{rq}] \leq \alpha_{qr} \leq (P_r + P_q) g_B[P_r/(P_r + P_q), P_q/(P_r + P_q), \rho_{rq}]$, а для границ вероятности ошибки классификации при $m > 2$ получим

$$\begin{aligned} \frac{1}{m-1} \sum_{q < r} (P_r + P_q) g_H\left(\frac{P_r}{P_r + P_q}, \frac{P_q}{P_r + P_q}, \rho_{rq}\right) &\leq P_e \leq \\ \leq \sum_{q < r} (P_r + P_q) g_B\left(\frac{P_r}{P_r + P_q}, \frac{P_q}{P_r + P_q}, \rho_{rq}\right). \end{aligned} \quad (2)$$

Проведем здесь расчет границ Бхаттачарийя для вероятности ошибки классификации при пуассоновских наблюдениях, когда образ $\tilde{J}(s)$ является реализацией потока точек s_i и описывается системой плотностей распределения вероятностей

$$p[\tilde{J}(s) | J(s)] = p[n; s_1, \dots, s_n | J(s)] = \frac{1}{n!} \prod_{i=1}^n [J(s_i) + J_\Phi] e^{-\int [J(s) + J_\Phi] ds}, \quad (3)$$

где интенсивность потока $\lambda(s)$ задается суммой эталонного образа $J(s)$ и фона: $\lambda(s) = J(s) + J_\Phi$.

Границы Бхаттачарийя для двухклассовой задачи были получены в [5]:

$$(1/2) \left[1 - \left(1 - 4P_1 P_2 e^{-2\rho_B} \right)^{1/2} \right] \leq P_e \leq (P_1 P_2)^{1/2} e^{-\rho_B}, \quad (4)$$

где

$$\rho_B = -\ln \int_c^\infty p[\tilde{J}(s) | J_1(s)]^{1/2} p[\tilde{J}(s) | J_2(s)]^{1/2} d\tilde{J}(s)$$

— расстояние Бхаттачарийя между образами $J_1(s)$ и $J_2(s)$. Интеграл здесь континуальный. Используя (3), найдем

$$\begin{aligned} \rho_B &= -\ln \sum_{n=0}^{\infty} \frac{1}{n!} \int_{(n)} \prod_{i=1}^n \lambda_1(s_i)^{1/2} \prod_{i=1}^n \lambda_2(s_i)^{1/2} ds_1 \dots ds_n \times \\ &\quad \times e^{-\int \frac{\lambda_1(s) + \lambda_2(s)}{2} ds} = \frac{1}{2} \int [\lambda_1(s)^{1/2} - \lambda_2(s)^{1/2}]^2 ds \end{aligned}$$

и, осуществив подстановку этого результата в (2) и (4), получим

$$\frac{1}{m-1} \sum_{q < r} \sum_{q < r} \frac{P_r + P_q}{2} \left\{ 1 - \left[1 - 4 \frac{P_r P_q}{(P_r + P_q)^2} e^{-\int [\lambda_r(s)^{1/2} - \lambda_q(s)^{1/2}]^2 ds} \right]^{1/2} \right\} \leqslant$$

$$\leqslant P_e \leqslant \sum_{q < r} \sum_{q < r} (P_r P_q)^{1/2} e^{-\frac{1}{2} \int [\lambda_r(s)^{1/2} - \lambda_q(s)^{1/2}]^2 ds}.$$

Как видно из полученного результата, вероятность ошибки распознавания и ее границы зависят не только от характера и величины искажений, но также и от числа образов, их априорных вероятностей, конфигурации, расположения и относительных размеров. Для наиболее трудных случаев распознавания, когда число образов велико, они сильно схожи, априорные вероятности их равны, отношения типа сигнал/шум малы, верхняя граница тривиальна и может достигать значения $g_v = m(m-1)/2$, а нижняя граница стремится к $g_n = 1/2$. Поэтому найденные здесь границы наилучшим образом оценивают вероятность ошибки распознавания для более легких случаев при небольших искажениях наблюдений. Обе границы при этом стремятся к нулю.

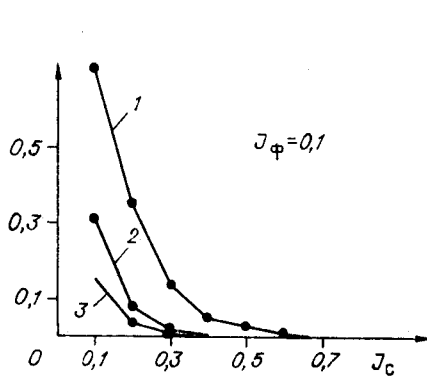


Рис. 1.

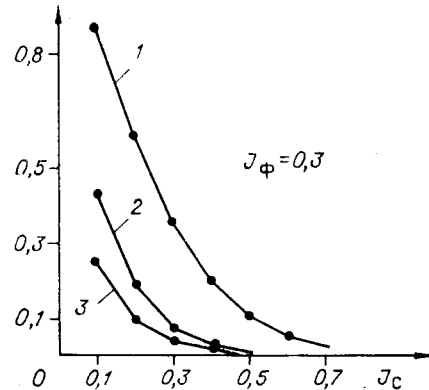


Рис. 2.

Характер поведения границ вероятности ошибки при различных соотношениях величины полезного сигнала и фона отражают графики, приведенные на рис. 1 и 2 (кривые 1, 3). Там же представлены графики отношения числа ошибок при распознавании образов к общему числу их пуссоновских наблюдений в эксперименте по распознаванию с помощью байесовского классификатора (кривые 2). Эти графики были построены для задачи распознавания изображений трех ($m = 3$) геометрических фигур (круга, квадрата и эллипса) примерно равной площади. Значение интенсивности изображений внутри контуров образов принималось равным $\lambda(s) = J_c + J_\Phi$, а вне контура — $\lambda(s) = J_\Phi$. Априорные вероятности образов равнялись $1/3$.

Опуская несложный расчет, приведем здесь также границы вероятности ошибочной классификации векторного образа $I = \{J(s_1), \dots, J(s_N)\}$ при наблюдениях его в аддитивном гауссовом шуме $I = I + R$ с матрицей корреляции $K = R^T R$.

Для такого случая

$$\frac{1}{m-1} \sum_{q < r} \sum_{q < r} \frac{P_r + P_q}{2} \left\{ 1 - \left[1 - 4 \frac{P_r P_q}{(P_r + P_q)^2} e^{-(1/4)(I_r - I_q)K^{-1}(I_r - I_q)^T} \right]^{1/2} \right\} \leqslant$$

$$\leqslant P_e \leqslant \sum_{q < r} \sum_{q < r} (P_r P_q)^{1/2} e^{-(1/8)(I_r - I_q)K^{-1}(I_r - I_q)^T}.$$

Определение и анализ этих границ для конкретного случая аналогичны приведенным выше и не вызывают затруднений.

ЛИТЕРАТУРА

1. Toussaint G. T. Bibliography on estimation of misclassification.— IEEE Trans., 1974, vol. IT-20, p. 472—479.
2. Kanal L. Patterns in pattern recognition: 1968—1974.— IEEE Trans., 1974, vol. IT-20, p. 679—722.
3. Клоков Ю. К., Сидельников В. Н., Хамитов Р. Р. Преобразование, минимизирующее верхнюю границу вероятности ошибки классификации при пуссоновских наблюдениях.— Автометрия, 1981, № 6.
4. Caprihan A., De Figueiredo R. On the extraction of pattern feature from continuous measurements.— IEEE Trans., 1970, vol. SSC-6, p. 110—115.
5. Fukunaga K. Introduction to statistical pattern recognition.— N. Y.: Academic Press, 1972.

Поступило в редакцию 3 февраля 1982 г.;
окончательный вариант — 23 июня 1982 г.